

(1)

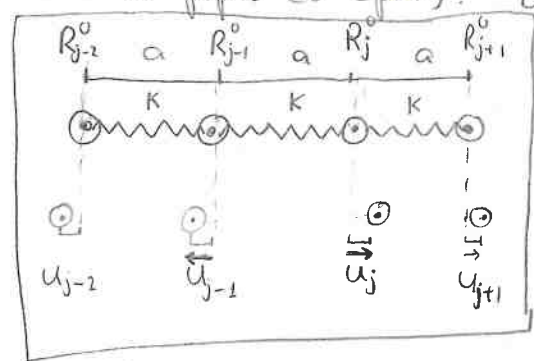
Funções de Green e Fôons

Vibracões em uma rede iônica podem, muitas vezes, ser descritas como uma superposição de modos vibracionais de osciladores quânticos acoplados. Em grande parte dos casos de interesse, esses osciladores são harmônicos, permitindo uma descrição segundo-quantizada em termos de operadores bosônicos. As excitações associadas a tais operadores são comumente denominadas de fôons.

O Hamiltoniano de "fôons livres" é, assim, similar ao de um oscilador harmônico, com uma importante diferença: fôon tem momento:

$$H_{ph} = \sum_{\vec{q}\lambda} \Omega_{\vec{q}\lambda} \left(b_{\vec{q}\lambda}^\dagger b_{\vec{q}\lambda} + \frac{1}{2} \right) , \quad [b_{\vec{q}\lambda}^\dagger, b_{\vec{q}'\lambda'}^\dagger] = \delta_{\vec{q}\vec{q}'} \delta_{\lambda\lambda'}$$

onde $\Omega_{\vec{q}\lambda} = \Omega_{|\vec{q}| \lambda} \propto |\vec{q}|$ é linear em $|\vec{q}|$ (fôon acústico) e λ é um "índice de polarização" de modo a incluir mais do que um "tipo" de fôon (similar ao papel do spin). É instrutivo derivar H_{ph} no caso 1D ($\vec{q} = q \hat{e}_x$)



$$H_{ph} = \sum_{j=1}^N \left[\frac{1}{2M} P_j^2 + \frac{1}{2} K(u_j - u_{j-1})^2 \right] \quad [P_j, u_{j+1}] = \frac{\hbar}{i} \delta_{j,j+1}$$

Impõendo condições periódicas de contorno ($u_{N+1} = u_1$), definimos:

$$P_j \equiv \frac{1}{\sqrt{N}} \sum_K \hat{P}_K e^{i K R_j^0}$$

$$u_j \equiv \frac{1}{\sqrt{N}} \sum_K \hat{u}_K e^{i K R_j^0} \quad \left(\delta_{R_j^0, 0} \equiv \frac{1}{N} \sum_K e^{i K R_j^0} \right)$$

O Hamiltoniano será dado por N osciladores acoplados em posições de equilíbrio R_j^0 tais que $R_j^0 - R_{j+1}^0 = a = \text{cte}$. O Hamiltoniano será:

$u_j \rightarrow$ deslocamento a partir de R_j^0
 $L = Na \rightarrow$ "componentes" do sistema

onde "K" é definido tal que $e^{iKL} = 1 \Rightarrow K_n = \pm \frac{2n\pi}{Na}$ de modo

que temos condições periódicas de contorno ($u_{N+1} = u_1$).

As transformações inversas são:

$$\hat{P}_K = \frac{1}{\sqrt{N}} \sum_{j=1}^N P_j e^{-i K R_j^0} \quad ; \quad \hat{U}_K = \frac{1}{\sqrt{N}} \sum_{j=1}^N u_j e^{-i K R_j^0} \quad \left(\delta_{K,0} = \frac{1}{N} \sum_{j=1}^N e^{-i K R_j^0} \right)$$

Note que $P_k^+ = P_{-k}$ de modo que $\hat{P}_j^2 = \hat{P}_j^+ \hat{P}_j^- = \frac{1}{N} \sum_{k \in \mathbb{Z}} P_k^+ e^{-ikR_j} P_k^- e^{ikR_j} = \sum_k \hat{P}_{-k} \hat{P}_k^+ \frac{e^{ik(R_j - k)}}{N}$

Substituindo no Hamiltoniano e usando $S_{K,K'} = \frac{1}{N} \sum_{j=1}^N e^{-i(K-K')R_j^0}$, obtemos:

$$H_{ph} = \sum_{\substack{k \\ \in FBZ}} \frac{1}{2m} \hat{P}_k \hat{P}_{-k} + \frac{1}{2} M \omega_k^2 \hat{U}_k \hat{U}_{-k}$$

que tem a "cara" de um Hamiltoniano de oscilador harmônico (exceto por $K, -K$)

Para diagonalizá-lo, definimos as operações de criação e destruição:

$$\left\{ \begin{array}{l} b_{-K}^+ = \frac{1}{\sqrt{2}} \left(\frac{U_K}{\ell_K} - i \frac{P_K}{\ell_K} \right) \\ \end{array} \right. \quad \left(\ell_K = \sqrt{\frac{5}{M\omega_K}} \right)$$

$$b_K = \frac{1}{\sqrt{2}} \cdot \left(\frac{u_n}{e_n} + i \frac{p_n}{e_n} \right) \quad (\text{Note o "k" na definição de } b^+)$$

$$\hat{u}_K = \frac{l_K}{\sqrt{2}} (b_{-K}^+ + b_K^-)$$

$$\hat{P}_K = \frac{t_0}{\ell_K} \frac{i}{\sqrt{2}} \left(b_{-K}^+ - b_K^- \right)$$

$$\omega_k = \omega_{-k}$$

$$l_K = -l_{-K}$$

p/ K pequeno

$$\omega_K = \sigma_s K \quad \sigma_s = \sqrt{\frac{K}{M}} a$$

Fôndos acústicos

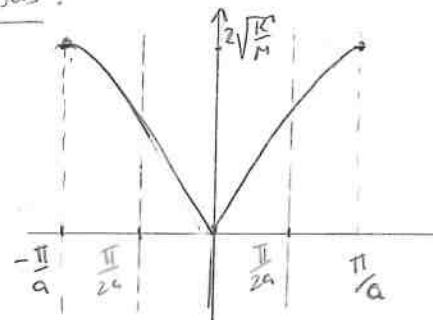
e chegaram ao resultado:

$$H_{ph} = \sum_k \hbar \omega_k (b_k^\dagger b_k + \frac{1}{2})$$

$$\text{com } [b_{K_1}, b_{K_2}^+] = \delta_{K_1 K_2} \quad (\text{bosons})$$

Jeron por
celula
unitaria

$$\text{dispersão: } w_{kz} = \sqrt{\frac{k}{M}} \cdot 2 \cdot \left| \sin \frac{Kx}{2} \right|$$

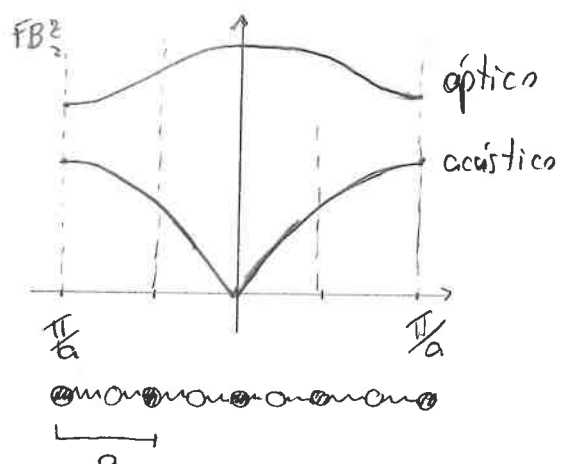
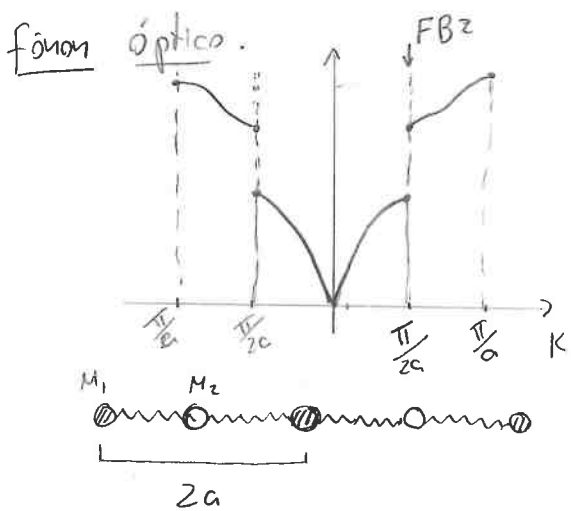


A horizontal wavy line with four circular nodes. A bracket is positioned below the line, and a small circle labeled 'a' is located at the bottom center.

(3)

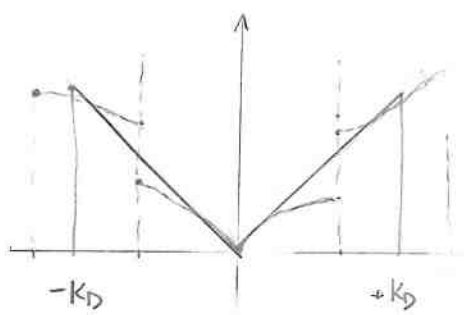
Quando temos mais do que um ion por célula unitária, temos uma modificação nesse resultado (se os íons forem diferentes).

Para $p=2$ íons por célula unitária em 1D, há o aparecimento de um outro modo, com uma dispersão diferente para $\omega_{K(2z)}$. É o chamado fônon óptico.



distintos Em 1D, se tivermos p íons na célula unitária, teremos 1 ramo acústico e $p-1$ ramos fônon ópticos. Em 3D, teremos 3 ramos acústicos e $3(p-1)$ modos ópticos.

Modelo de Debye: O modelo de Debye consiste em se fazer uma média sobre todos ópticos e acústicos e substituir tudo por um único modo acústico na forma



$$\omega_{K\lambda} \equiv U_D K \Rightarrow E = \frac{1}{2} U_D K^2$$

onde U_D é a velocidade de Debye que corresponde à média das diferentes velocidades dos diferentes modos.

A dispersão vale no domínio $-K_D \leq K \leq K_D$ onde K_D é determinado pela "ocupação" do ramo acústico médio pelos $3N_{ion}$ modos que existiam antes da média. Assim temos uma "esfera" no espaço \vec{K} tal que

$$N_{ion} = \frac{Vol}{(2\pi)^3} \frac{4}{3} \pi K_D^3 = \frac{Vol}{(2\pi)^3} \times (\text{volume no espaço } \vec{K})$$

De certa forma, o modelo de Debye "contém" os fôtons como se fossem independentes (ramos ópticos são equivalentes ou "extensões" dos ramos acústicos) e isotrópicos no espaço \vec{k} . Assim, há uma certa analogia entre K_D e " K_F " (embora estejamos falando de bosons) e podemos definir " ω_D ", " T_D " e " E_D "

também

$E_D = \hbar \omega_D \equiv K_B T_D = \hbar \omega_D K_D$ (energia de Debye $\rightarrow E_D$, frequência de Debye $\rightarrow \omega_D$, temperatura de Debye $\rightarrow T_D$)

Como $K_D^3 = \frac{6\pi^2 N_{ion}}{\text{Vol}}$ $\Rightarrow K_B T_D = \hbar \omega_D = \hbar \omega_D \left(\frac{6\pi^2 N_{ion}}{\text{Vol}} \right)^{1/3}$

Poderemos também definir uma "densidade de estados de fôtons" se considerarmos

$$\text{que } N_{ph}(\epsilon_D) = 3N_{ion} = 3pN \Rightarrow N_{ph}(\epsilon) = \frac{V}{2\theta\pi^2} \frac{1}{(\hbar\omega_D)^3} \epsilon^3 \Rightarrow N_{ph}(\epsilon) = \frac{V}{2\pi^2} \frac{\epsilon^3}{(\hbar\omega_D)^3}$$

Densidade de fôtons no modelo de Debye

$$D_{ph}(\epsilon) = \frac{dN_{ph}(\epsilon)}{d\epsilon} = \frac{3V}{2\pi^2} \frac{\epsilon^2}{(\hbar\omega_D)^2} \quad 0 < \epsilon < \epsilon_D$$

e calcularmos a energia total relativa às vibrações da rede na forma:

$$E_{ph}(T) = \int_0^{\epsilon_D} d\epsilon \cdot \epsilon \cdot D_{ph}(\epsilon) N_B(\epsilon) = \frac{3V}{2\pi^2} \frac{1}{(\hbar\omega_D)^3} \int_0^{\epsilon_D} d\epsilon \frac{\epsilon^2}{e^{\beta\epsilon} - 1}$$

e também o calor específico $C_V^{ph}(T) = \frac{\partial E_{ph}}{\partial T} = \frac{1}{T_D} \frac{\partial E_{ph}}{\partial (T/T_D)}$

$$C_V(T) = 9N_{ion} K_B \left(\frac{T}{T_D} \right)^3 \int_0^{T/T_D} dx \frac{x^4 e^x}{(e^x - 1)^2} \quad \text{e p/} \begin{cases} T \ll T_D & C_V(T) \approx \frac{12\pi^2}{5} N_{ion} K_B \left(\frac{T}{T_D} \right)^3 \\ T \gg T_D & C_V(T) \approx 3N_{ion} K_B \end{cases}$$

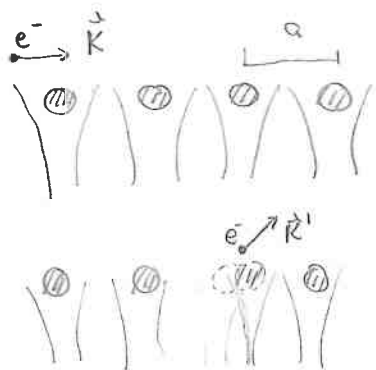
que concorda muito bem com resultados

experimentais (vide fig. 3.6 no livro de Brügel + Flensberg).

Interações elétron-fônon: Os elétrons são atraídos pelo potencial periódico $V_{ion}(r)$ formando perto ións nas posições \vec{R}_j . Isto, em última instância, indica que os elétrons são afetados pelas vibrações na rede.

É ilustrativo considerar essa interação efetiva elétrons-vibrações no caso 1D:

1D: Se o potencial dos ións for periódico em 1D tal que $V_{ion}(x) = V_{ion}(x + a)$



$$\text{Temos } V_{ion}(x) = \frac{1}{V} \sum_p V_p e^{ipx} = \frac{1}{\sqrt{1}} \cdot \frac{1}{\sqrt{1}} \cdot \dots$$

onde p é o momento na rede recíproca tal que $p = q + G$ onde q é um "vetor em 1D" na 1ª zona de Brillouin. (Isso não é o modelo de Jellium!)

A interação entre elétrons com densidade de $P_e(\vec{r})$ e os ións será atrativa na forma:

$$\text{Vel-im} = e \int dx P_e(x) \sum_{j=1}^N V_{ion}(x - R_j) \quad \text{onde } R_j \text{ são as posições das ións}$$

Se houver deslocamento dos ións, então $R_j = u_j - R_j^0$ e temos

$$V_{ion}(x - R_j) \approx V_{ion}(x - R_j^0) - u_j \frac{dV_{ion}(x - R_j^0)}{dx} \quad \text{para } u_j \text{ pequenos}$$

O primeiro termo é "estático" e corresponde ao potencial de Bloch que dc origem a banda de energia. O segundo termo é o que nos interessa:

$$\text{Vel-ph} = +e \int dx P_e(x) \sum_{j=1}^N u_j \frac{dV_{ion}(x - R_j^0)}{dx} \quad \text{onde} \begin{cases} V_{ion}(x - R_j^0) = \frac{1}{V} \sum_p V_p e^{ipx} e^{-ipR_j^0} \\ \frac{dV}{dx} \Big|_{x=R_j^0} = \frac{1}{V} (ip) \sum_p V_p e^{ip(x - R_j^0)} \end{cases}$$

(6)

$$\text{Sendo: } \left\{ \begin{array}{l} u_j = \frac{1}{\sqrt{N}} \sum_{k \in F_B^2} \hat{u}_k e^{ikR_j^0} = \frac{1}{\sqrt{N}} \sum_{k \in F_B^2} \frac{e_k}{\sqrt{2}} (b_{-k}^+ + b_k) e^{ikR_j^0} \\ \end{array} \right.$$

$$\left| \frac{d}{dx} V_{inj} \right|_{x=R_j} = \frac{1}{L} \sum_{\substack{q \in F_B^2 \\ G \in RL}} i(q+G) V_{q+G} e^{i(q+G)(x-R_j^0)}$$

$$\text{Logo} + e \sum_{j=1}^N u_j \frac{dy_{inj}}{dx}(x-R_j) = \frac{1}{L} \sum_{\substack{q \in F_B^2 \\ G \in RL}} \sum_{k \in F_B^2} \frac{e_k}{\sqrt{N}\sqrt{2}} l_k (b_{-k}^+ + b_k) \cdot i(q+G) V_{q+G} e^{i(q+G)x} \underbrace{\left(\sum_{j=1}^N e^{i((k-q)R_j^0 + GR_j^0)} \right)}_{= N \delta_{k,q}} \\ = \frac{1}{L} \sum_{\substack{q \in F_B^2 \\ G \in RL}} \left(e \lg \frac{\sqrt{N}}{2} \right) i(q+G) V_{q+G} (b_{-q}^+ + b_q) e^{i(q+G)x} \\ = g_{q,G}$$

A interações elétron-fóton ficas: $(\hat{P}_{el}(x) = \frac{1}{L} \sum_{k' p'} e^{-p' x} c_{k' p' \sigma}^+ c_{k' p' \sigma}^-)$

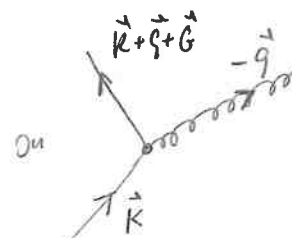
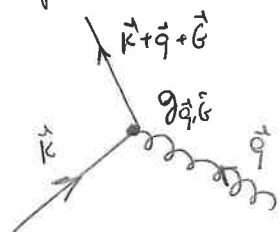
$$V_{el-ph} = \frac{1}{L^2} \sum_{k' p'} \sum_{\substack{q \\ G}} C_{k' p' \sigma}^+ C_{k' \sigma}^- g_{q,G} (b_{-q}^+ + b_q) \int dx e^{i(q+G-p')x}$$

$$V_{el-ph} = \frac{1}{L} \sum_{k'} \sum_q \sum_G g_{q,G} C_{(k'+q+G)\sigma}^+ C_{k'\sigma}^- (b_{-q}^+ + b_q) \quad \equiv \frac{1}{L} \delta_{q+G, p'} \quad (1D)$$

Já escrita em segundo quantizadas. O resultado pode facilmente ser generalizado para 3D:

$$V_{el-ph} = \frac{1}{V} \sum_{\vec{k'}} \sum_{\vec{q}} \sum_{\vec{G}} g_{\vec{q}, \vec{G}} C_{(\vec{k'} + \vec{q} + \vec{G})\sigma}^+ C_{\vec{k}'\sigma}^- (b_{-\vec{q}}^+ + b_{\vec{q}}) \quad (3D)$$

que representa um vértice:



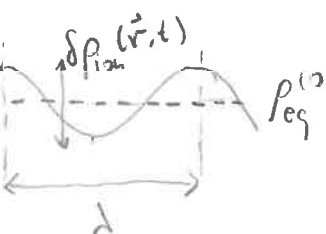
Fôtons no modelo de "Jellium"

Até aqui, falamos sobre "vibrações na rede iônica", ou seja, considerando os íons positivamente carregados como partículas pontuais oscilando em torno de posição de equilíbrio $R_j^{(0)}$, conectados por "molas" ideais.

Como ficariam essas oscilações em um modelo contínuo? Esse é o caso do modelo de "jellium", onde os fôtons formam uma distribuição de carga contínua:

$$\boxed{P_{ion}^c(\vec{r}, t) = +Ze P_{ion}^{(0)}(\vec{r}, t)} \quad \text{Nesse caso, as oscilações se manifestam como flutuação da densidade de íons em torno da densidade de equilíbrio: } \boxed{P_{ion}(\vec{r}, t) = P_{ion}^{(0)} + \delta P_{ion}(\vec{r}, t)}$$

Por hipótese do modelo $P_{ion}^{(0)}$ é uniforme (\vec{r} depende de \vec{r}) e estática. Se as oscilações forem harmônicas com frequência Ω , podemos escrever:



$$\delta P_{ion}(\vec{r}, t) = \delta P_{ion}(\vec{r}) e^{-i\Omega t}$$

que gera um campo elétrico, $\vec{E}(\vec{r}, t)$ dado por

$$\nabla \cdot \vec{E} = \frac{\delta P_{ion}^c(\vec{r}, t)}{\epsilon_0} = \frac{Ze}{\epsilon_0} \delta P_{ion}(\vec{r}, t)$$

Temos ainda a Eq de continuidade: $\frac{\partial}{\partial t} P_{ion}^c + \nabla \cdot \vec{j} = 0$ e $\vec{j} = P_{ion}^c \vec{v}$, $\frac{\partial \vec{v}}{\partial t} = \frac{Ze \vec{E}}{M}$

$$\text{Logo: } \left\{ \begin{array}{l} \nabla \cdot \vec{j} \approx Ze P_{ion}^{(0)} \nabla \cdot \vec{v} + O(\delta P) \\ \frac{\partial}{\partial t} (\nabla \cdot \vec{v}) = \frac{Ze}{M} \left(\frac{Ze}{\epsilon_0} \right) \delta P_{ion} \end{array} \right\} \downarrow \quad \frac{\partial^2}{\partial t^2} \delta P_{ion} = -Ze \left(\frac{(Ze)^2}{ME_0} \right) P_{ion}^{(0)} \delta P_{ion} \Rightarrow \boxed{\Omega^2 = \left(\frac{Ze}{M\epsilon_0} \right)^2 P_{ion}^{(0)}}$$

Com isso, obtemos a "frequência de plasma" iônica, que é a frequência característica de oscilações do "background" contínuo do modelo de Jellium.

Voltando o acoplamento elétron-fóton deduzido para fôtons na rede $\left[g_{qG} = \left(e \ell_q \sqrt{\frac{N}{2}} \right) i(q+G) V_{q+G} \right]$, no caso contínuo teremos

$$\boxed{\begin{aligned} G &\rightarrow 0 \\ \omega_q &\rightarrow \Omega \end{aligned}} \Rightarrow \ell_q = \sqrt{\frac{\hbar}{M\omega_q}} \Rightarrow \sqrt{\frac{\hbar}{M\Omega}} \quad (\text{independente de } q)$$

Ou seja, g_q para o modelo de jellium será proporcional ao potencial coulombiano "puro" $V(q) = \frac{+ze^2}{\epsilon_0 q^2}$ entre elétrons e íons:

$$g_q^{(\text{Jellium})} = iq \left(eV(q) \right) \sqrt{\frac{\hbar n}{2M\Omega}} \sqrt{V_{\text{de}}}$$

(sistema neutro)

onde $n = \frac{N}{V_{\text{de}}}$ é a densidade eletrônica ou de íons vezes z :

$$n = z\rho_{\text{ion}}^{(z)}$$

$$\text{Como } \Omega^2 = \frac{z^2 e^2 \rho_{\text{ion}}^{(z)}}{M \epsilon_0} = \frac{e^2 z n}{M \epsilon_0}, \text{ temos: } \frac{n}{M} = \frac{\epsilon_0 \Omega^2}{z e^2}$$

$$\left| \frac{g_q^{(\text{Jellium})}}{g_q} \right|^2 = q^2 \cdot \cancel{\epsilon} \cdot V(q) \cdot V(q) \cdot \frac{\hbar}{2} \cdot \frac{\epsilon_0 \Omega^2}{z \cancel{\epsilon}^2} \cdot \frac{1}{\cancel{\epsilon}} \cdot V_{\text{de}} = q \cdot V(q) \frac{z/e}{\cancel{\epsilon}/2} \frac{\hbar}{\cancel{\epsilon}} \cdot \frac{\Omega^2}{z} \cdot V_{\text{de}}$$

$$\Rightarrow \boxed{\left| \frac{g_q^{(\text{Jellium})}}{g_q} \right|^2 = \frac{1}{2} V(q) (\hbar \Omega)}$$

que é um resultado que usaremos mais à frente.

Funções de Green para fôrmas livres

Consideremos agora as funções de Green para o Hamiltoniano

$$H = H_{ph} + H_{el-ph} \quad \text{no modelo de Jellium}$$

onde H_{el-ph} é tratado para o caso isotrópico, ou seja, $\vec{G} = 0$.

$$H_{ph} = \sum_{\vec{q}, \lambda} \omega_{\vec{q}, \lambda} (b_{\vec{q}, \lambda}^+ b_{\vec{q}, \lambda}^- + \frac{1}{2})$$

$$H_{el-ph} = \frac{1}{V} \sum_{\vec{k}, \sigma} \sum_{\vec{q}, \lambda} g_{\vec{q}, \lambda} C_{\vec{k} + \vec{q}, \sigma}^+ C_{\vec{k}, \sigma}^- (b_{\vec{q}, \lambda}^+ b_{-\vec{q}, \lambda}^-)$$

Pela forma de H_{el-ph} , veremos que o operador relevante é a combinação

$$\hat{A}_{\vec{q}, \lambda} \equiv b_{\vec{q}, \lambda}^+ + b_{-\vec{q}, \lambda}^+ \quad , \quad \hat{A}_{\vec{q}, \lambda}^+ \equiv b_{\vec{q}, \lambda}^+ + b_{-\vec{q}, \lambda}^- = \hat{A}_{-\vec{q}, \lambda}^-$$

que pode ser definida na Rep. de Interações com

$$A_{\vec{q}, \lambda}(z) \equiv e^{z H_{ph}} A_{\vec{q}, \lambda} e^{-z H_{ph}}$$

e introduzirnos a função de Green de Matsubara para fôrmas livres:

$$D_{\lambda}^{(0)}(\vec{q}, z) \equiv - \langle T_z A_{\vec{q}, \lambda}(z) A_{\vec{q}, \lambda}^+(0) \rangle_0 = - \langle T_z A_{\vec{q}, \lambda}(z) A_{-\vec{q}, \lambda}^+(0) \rangle_0$$

$$D_{\lambda}^{(0)}(\vec{q}, i q_n) \equiv \int_0^{\beta} dz D^{(0)}(\vec{q}, z) e^{i q_n z} \quad q_n = \frac{2\pi}{\beta} n$$

De modo análogo ao que fizemos no cálculo da função de Green para $H_0 = \sum_v E_v C_v^\dagger C_v$, obtemos agora:

$$D_\lambda^{(n)}(\vec{q}, z) = \begin{cases} -[n_B(\Omega_{\vec{q}\lambda}) + 1] e^{-\Omega_{\vec{q}} z} - n_B(\Omega_{\vec{q}}) e^{\Omega_{\vec{q}} z} & \text{p/ } z > 0 \\ -n_B(\Omega_{\vec{q}}) e^{-\Omega_{\vec{q}} z} - [n_B(\Omega_{\vec{q}}) + 1] e^{\Omega_{\vec{q}} z} & \text{p/ } z < 0 \end{cases}$$

onde usamos o fato que $\langle b_{\vec{q}\lambda}^\dagger b_{\vec{q}\lambda} \rangle = n_B(\Omega_{\vec{q}\lambda})$ e $\langle b_{\vec{q}\lambda}^\dagger b_{\vec{q}\lambda}^\dagger \rangle_0 = \langle b_{\vec{q}\lambda} b_{\vec{q}\lambda} \rangle_0 = 0$

Fazendo a transformada de Fourier

$$\begin{aligned} D_\lambda^{(n)}(\vec{q}, iq_n) &= \int_0^\beta dz e^{iq_n z} D_\lambda^{(n)}(\vec{q}, z) = \int_0^\beta -[n_B(\Omega_{\vec{q}}) + 1] e^{(iq_n - \Omega_{\vec{q}})z} dz \\ &\quad - \int_0^\beta n_B(\Omega_{\vec{q}}) e^{(iq_n + \Omega_{\vec{q}})z} dz \\ &= \left(n_B(\Omega_{\vec{q}}) = (e^{\beta \Omega_{\vec{q}}} - 1)^{-1} \right) = n_B(\Omega) + 1 = \frac{1 + e^{\beta \Omega_{\vec{q}}}}{e^{\beta \Omega_{\vec{q}}} - 1} = (1 - e^{-\beta \Omega_{\vec{q}}})^{-1} \\ &= - \frac{[n_B(\Omega_{\vec{q}}) + 1]}{iq_n - \Omega_{\vec{q}}} \left(e^{iq_n \beta} e^{-\Omega_{\vec{q}} \beta} - 1 \right) - \frac{n_B(\Omega_{\vec{q}})}{iq_n + \Omega_{\vec{q}}} \left(e^{iq_n \beta} e^{\Omega_{\vec{q}} \beta} - 1 \right) \\ &= \frac{1}{iq_n - \Omega_{\vec{q}}} - \frac{1}{iq_n + \Omega_{\vec{q}}} = \frac{2 \Omega_{\vec{q}}}{(iq_n)^2 - (\Omega_{\vec{q}})^2} \end{aligned}$$

Interações elétron-fóton e diagramas de Feynman

Considerem agora o Hamiltoniano com interações elétron-fóton (usando de

$$H = H_0 + H_{\text{e-ph}} \quad \text{onde} \quad H_0 = \sum_{\vec{k}\sigma} E_{\vec{k}} C_{\vec{k}\sigma}^{\dagger} C_{\vec{k}\sigma} + \sum_{\vec{q}\lambda} \Omega_{\vec{q}\lambda} (b_{\vec{q}\lambda}^{\dagger} b_{\vec{q}\lambda} + \frac{1}{2})$$

Qual será o efeito de $H_{\text{e-ph}}$ na função de Green do elétron?

Nesse caso, $H_{\text{e-ph}}$ terá o papel de "interação" de modo que

$$G_{\sigma}(\vec{k}, z) = - \sum_{m=0}^{\infty} \frac{(-1)^m}{m!} \int_0^B dz_1 \dots dz_m \langle T_z (H_{\text{e-ph}}(z_1) \dots H_{\text{e-ph}}(z_m) C_{\vec{k}\sigma}(z) C_{\vec{k}\sigma}^{\dagger}(0)) \rangle$$

$$\sum_{m=0}^{\infty} \frac{(-1)^m}{m!} \int_0^B dz_1 \dots dz_m \langle T_z (A_{\vec{q}_1}(z_1) \dots A_{\vec{q}_m}(z_m)) \rangle$$

Seja, $H_{\text{e-ph}}(z) = \frac{1}{V} \sum_{\vec{k}\sigma} g_{\vec{q}\lambda} C_{\vec{k}+\vec{q},\sigma}^{\dagger} C_{\vec{k},\sigma} A_{\vec{q}\lambda}(z)$ e sendo que

$A_{\vec{q}\lambda}$ e $C_{\vec{k}\sigma}$ ($C_{\vec{k}\sigma}^{\dagger}$) atuam em setores distintos do espaço de Hilbert.

podemos escrever os termos no denominador de $G(\vec{k}, z)$ na forma

$$\langle T_z (A_{\vec{q}_1}(z_1) \dots A_{\vec{q}_m}(z_m)) C_{\vec{k}+\vec{q}_1,\sigma}^{\dagger}(z_1) C_{\vec{k},\sigma}(z_1) \dots C_{\vec{k}+\vec{q}_m,\sigma}^{\dagger}(z_m) C_{\vec{k},\sigma}(z_m) \rangle_0 =$$

$$\langle T_z (A_{\vec{q}_1}(z_1) \dots A_{\vec{q}_m}(z_m)) \rangle_0 \langle T_z (C_{\vec{k}+\vec{q}_1,\sigma}^{\dagger} C_{\vec{k},\sigma}(z_1) \dots C_{\vec{k}+\vec{q}_m,\sigma}^{\dagger} C_{\vec{k},\sigma}(z_m)) \rangle_0$$

e descouplar (usando o Teorema de Wick) em produto de funções de Green

$$\text{de fôtons livres} \quad - \langle T_z (A_{\vec{q}_i}(z_i) A_{\vec{q}_j}(z_j)) \rangle = D^{(0)}(\vec{q}_i, z_i - z_j) \delta_{\vec{q}_i, -\vec{q}_j}$$

em dois tempos ($z_i \neq z_j$) mas que forçou o momento \vec{q}_i a ser igual a \vec{q}_j .

Esse "pareamento" tem consequências para \mathcal{G} : apenas

Termos com $m = 2n$ (par) sobrevivem. No entanto, em um termo típico, teremos:

$$\frac{1}{(2n)!} \left\langle T_{\tau} (A_{\vec{q}_1}(\tau_1) \dots A_{\vec{q}_{2n}}(\tau_{2n})) \right\rangle_0 \xrightarrow{\text{Wick}} \frac{1}{(2n)!} \sum_{\text{pareamento}} \left\langle T_{\tau} (\hat{A}_{\vec{q}_1}(\tau_1) \hat{A}_{\vec{q}_2}(\tau_1)) \dots \left\langle T_{\tau} (A_{\vec{q}_i}(\tau_i) A_{\vec{q}_j}(\tau_j)) \right\rangle \right\rangle$$

\uparrow

$2n \vec{q}_i$ independentes

$\int_0^{\beta} d\tau_1 \dots \int_0^{\beta} d\tau_{2n} g_{\vec{q}_1, \vec{q}_2} \dots g_{\vec{q}_{2n}}$

$\underbrace{\quad}_{2n \text{ tempos}}$

$= \frac{1}{(2n)!} (-1)^n \times \frac{(2n)!}{n! n!} \frac{n!}{2^n} \int_0^{\beta} d\tau_1 \dots d\tau_n \left\langle \hat{T}_{\tau} (\hat{D}^{(0)}(\tau_1) \dots \hat{D}^{(0)}(\tau_n)) \right\rangle$

de definição
das $\hat{D}^{(0)}(\vec{q}_i)$

dentro de
2n \vec{q}_i originais,
escolham n
independentes

Número de maneiras
de combinar n \vec{q}_i
independentes com os
 n outros ("independentes") produzindo
os pares que dão o mesmo resultado

onde, para cada " \vec{q} independente" (só n deles) temos $\int_0^{\beta} \hat{D}^{(0)}(\tau_i) d\tau_i$ definidos como

$$\int_0^{\beta} d\tau_i \hat{D}^{(0)}(\tau_i) = \int_0^{\beta} d\tau_i \int_0^{\beta} d\tau_j |g_{\vec{q}_i}|^2 D^{(0)}(\vec{q}_i, \tau_i - \tau_j)$$

Note que o pré-fator fica antes $\frac{(-1)^n}{n!} \times \left(\frac{1}{2}\right)^n$ e agora falta incorporar os graus de liberdade eletrônicos. O importante é que a parte "bosônica" foi totalmente incorporada na "interação" $D^{(0)}(\vec{q}_i)$ acima de modo que, efetivamente:

$$\underbrace{\int_0^{\beta} d\tau_j}_{H_{\text{eff}}(\tau_i) H_{\text{eff}}(\tau_j)} \rightarrow H_{\text{eff}}(\tau_i) \propto \int_0^{\beta} d\tau_j D^{(0)}(\vec{q}_i, \tau_i - \tau_j) C_{K+\vec{q}_i}^+(\tau_j) C_{K'-\vec{q}_i}^+(\tau_i) \times C_{K'}^-(\tau_i) C_K^-(\tau_j)$$

Assim, podemos escrever

$$G_d(\vec{k}, \tau) = - \sum_m \frac{(-1)^m}{m!} \int_0^\beta d\tau_1 \dots d\tau_m \left\langle T_\tau \left(\hat{P}(\tau_1) \dots \hat{P}(\tau_m) C_{K_1+q_1}(\tau_1) C_{K_2+q_2}(\tau_2) \right) \right\rangle$$

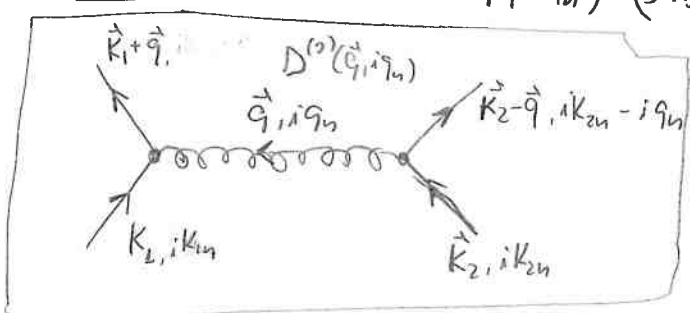
$$= \sum_m \frac{(-1)^m}{m!} \int_0^\beta d\tau_1 \dots d\tau_m \left\langle T_\tau \left(\hat{P}(\tau_1) \dots \hat{P}(\tau_m) \right) \right\rangle,$$

onde cada $\hat{P}(\tau_i)$ já engloba uma função de Green de forma livre:

$$\int_0^\beta d\tau_i \hat{P}(\tau_i) = \frac{1}{2} \int_0^\beta d\tau_i \sum_{K_1, q_1} \sum_{K_2, q_2} \sum_{\vec{q}, \lambda} \frac{1}{V^2} |g_{\vec{q}, \lambda}|^2 D_\lambda^{(0)}(\vec{q}, \tau_i - \tau_j)$$

$$\times C_{K_1+q_1}^+(\tau_j) C_{K_2-q_2}^+(\tau_i) C_{K_2}^-(\tau_i) C_{K_1}^-(\tau_j)$$

Note que o resultado final é que $\hat{P}(\tau_i)$ é, efetivamente, uma interação elétron-elétron medida por $D_\lambda^{(0)}(\vec{q}, \tau_i - \tau_j)$ ou $D_\lambda^{(0)}(\vec{q}, i\tau_n)$ na rep. de frequência. Temos então que $G(\vec{k}, \tau)$ pode ser escrita como uma expansão em diagramas de Feynman com um link de interações de fône com $D_\lambda^{(0)}(\vec{q}, i\tau_n)$ (substituindo $-U(\vec{q}, i\tau_n)$)



As regras para esses diagramas são similares às de interações elétron-elétron, substituindo $-U(\vec{q}, i\tau_n)$ por $-\frac{1}{V} |g_{\vec{q}, \lambda}|^2 D_\lambda^{(0)}(\vec{q}, i\tau_n)$.

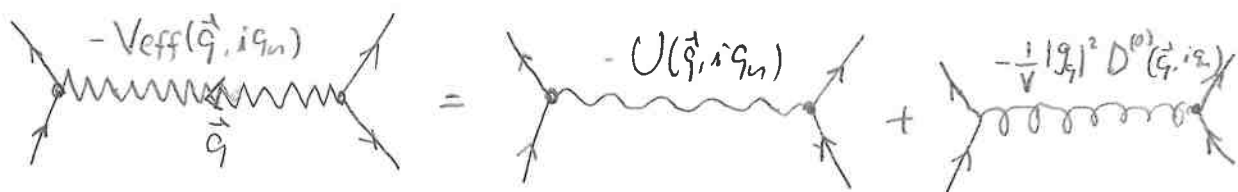
Combinação interações elétron-elétron e elétron-fôton

Consideremos agora o Hamiltoniano mais completo:

$$H = H_0 + H_{e-ph} + H_{e-e} \quad \text{onde}$$

H_{e-e} é a repulsão coulombiana pura:
$$H_{e-e} = \frac{1}{2} \int d\vec{r}_1 d\vec{r}_2 U(\vec{r}_1 - \vec{r}_2) \Psi_a^+(\vec{r}_1) \Psi_b^+(\vec{r}_2) \Psi_p(\vec{r}_2) \Psi_a(\vec{r}_1)$$

Como vimos, H_{e-ph} é, no final, escrito em forma fôntica parecida com H_{e-e} com $U(\vec{q}, i\vec{q}_n)$ substituído por $\frac{|g_q|^2}{V} D^{(0)}(\vec{q}, i\vec{q}_n)$. Assim, quando temos as duas interações juntas, a "linha de interação" efetiva será a soma das duas:



Ocorre que o pré-fator $\frac{1}{V} |g_q|^2$ tem, no modelo de jellium, uma dependência

$|g_q|^2 \sim \frac{1}{q^2}$, identica à de $U(q)$. Na verdade, conforme vimos, no modelo de jellium

$$\boxed{\frac{1}{V} |g_q|^2 = \frac{1}{2} U(q) \Omega} \quad \text{para } q \ll \Omega \quad (\Omega_q = \Omega)$$

Nesse caso $\frac{1}{V} |g_q|^2 D^{(0)}(\vec{q}, i\vec{q}_n) = U(q) \frac{\Omega^2}{(i\vec{q}_n)^2 - \Omega^2}$

$$\boxed{V_{eff}(\vec{q}, i\vec{q}_n) = U(q) + U(q) \frac{\Omega^2}{(i\vec{q}_n)^2 - \Omega^2} = U(q) \frac{(i\vec{q}_n)^2}{(i\vec{q}_n)^2 - \Omega^2} \xrightarrow{i\vec{q}_n \rightarrow \omega + i\eta} U(q) \frac{\omega^2}{\omega^2 - \Omega^2 + i\eta}}$$

O resultado é interessante quando fazemos a continuação

analítica $i\omega_n \rightarrow \omega$: o potencial de

operaç

Coulomb renormalizado por fôrmas

se torna atrativo a baixas freqüências

(ou $\omega < \omega_c$ nessa aproximação).

Agora, sabem da análise de RPA que o potencial de Coulomb em um gás de elétron também é renormalizado pela polarizações $-X_0 = \text{Diagrama}$

que reduz o seu alcance efetivo:

$$V^{RPA}(q) = \frac{U(q)}{1 - U(q)X_0(q)}$$

Em diagramas:

$$-V^{RPA}(q) = -U(q) + -U(q) - X_0 - V^{RPA}(q)$$

Assim, é natural incluir a renormalização RPA também em $V_{eff}(q, i\omega_n)$ fazendo $U(q) \rightarrow V^{RPA}(q)$ de modo que, em diagramas, temos

$$\text{Diagrama} = \text{Diagrama} + \text{Diagrama} \quad (I)$$

ou

$$V_{eff}^{RPA}(q, i\omega_n) = \frac{V_{eff}(q, i\omega_n)}{1 - V_{eff}(q, i\omega_n)X_0(q, i\omega_n)}$$

ou, equivalenteamente, podemos escrever V_{eff}^{RPA} como uma soma:

$$\text{Diagrama} = \text{Diagrama} + \text{Diagrama}$$

onde substituimos todas as linhas $U(q)$ por $V^{RPA}(q)$ inclusive dentro

de $D^{(n)}(q, i\omega_n)$:

$$\text{Diagrama} = \text{Diagrama} + \text{Diagrama} \\ -D^{RPA}(q, i\omega_n) - D^{(n)}(q, i\omega_n) - D^{(n)}(q, i\omega_n)X^{RPA}(q) D^{RPA}(q, i\omega_n)$$

Note que o acoplamento elétron-fôton também é renormalizado, isso porque quando "abrimos"  =  +  via equações de RPA (I), há "termos cruzados" misturando linhas de interaces com linhas de fôtons. Fazendo explicitamente:

$$\begin{aligned}
 & \text{RPA} - V_{\text{eff}}(q) = \langle \text{wavy} + \text{loop} \rangle \left[\langle \text{wavy} + \text{loop} \rangle \langle \text{loop} + \text{loop} \rangle \right] \\
 & + \langle \text{wavy} + \text{loop} \rangle \langle \text{loop} + \text{loop} \rangle \langle \text{loop} + \text{loop} \rangle + \dots \\
 & = \langle \text{wavy} \rangle + \langle \text{wavy loop} \rangle + \langle \text{loop wavy} \rangle + \dots \\
 & + \langle \text{loop} \rangle + \langle \text{loop loop} \rangle + \langle \text{loop loop loop} \rangle + \dots \\
 & + \langle \text{loop loop} \rangle + \langle \text{loop loop loop} \rangle + \dots \\
 & + \langle \text{loop loop loop} \rangle + \dots + \langle \text{loop loop loop loop} \rangle \\
 & + \langle \text{loop loop loop loop} \rangle + \dots + \langle \text{loop loop loop loop loop} \rangle \\
 & + \langle \text{loop loop loop loop loop} \rangle + \dots + \langle \text{loop loop loop loop loop loop} \rangle \\
 & = \langle \text{wavy} \rangle + \langle \text{loop loop} \rangle + \\
 & + \langle \text{loop loop loop} \rangle + \langle \text{loop loop loop loop} \rangle + \dots \\
 & + \langle \text{loop loop loop loop loop} \rangle + \dots
 \end{aligned}$$

$$-\mathcal{V}^{\text{eff}}_{\text{RPA}} = -\mathcal{V}^{\text{RPA}} + \frac{-1}{V} |g^{\text{RPA}}|^2 D^{\text{RPA}}$$

E' possível calcular expressões para $D^{RPA}(\vec{q}, i\omega_n)$, $|g_{\vec{q}}^{RPA}|^2$:

$$D^{RPA}(\vec{q}, i\omega_n) = \frac{\text{Diagrama}}{1 - \text{Diagrama}} \quad \text{onde } \text{Diagrama} = \text{Diagrama}_1 + \text{Diagrama}_2 + \dots$$

$$= \frac{D^{(0)}(\vec{q}, i\omega_n)}{1 - \chi^{RPA}(\vec{q}, i\omega_n) \frac{1}{\sqrt{|g_{\vec{q}}|^2}} D^{(0)}(\vec{q}, i\omega_n)}$$

Lembrando que $\left\{ \begin{array}{l} \chi^{RPA}(\vec{q}) = \frac{\chi_0(\vec{q}, i\omega_n)}{1 - U(\vec{q}) \chi_0(\vec{q}, i\omega_n)} = \frac{\text{Diagrama}_1}{1 - \text{Diagrama}_2} = \frac{\chi_0(\vec{q}, i\omega_n)}{\epsilon^{RPA}(\vec{q}, i\omega_n)} \end{array} \right.$

$$D^{(0)}(\vec{q}, i\omega_n) = \frac{2\Omega}{(i\omega_n)^2 - \Omega^2} \quad \text{e} \quad \boxed{\frac{1}{\sqrt{|g_{\vec{q}}|^2}} = \frac{1}{2} U(\vec{q}) \Omega} \quad \text{p/ o modelo de jellium}$$

Temos então:

$$\begin{aligned} D^{RPA}(\vec{q}, i\omega_n) &= \frac{2\Omega}{(i\omega_n)^2 - \Omega^2} \cdot \frac{\left((1 - U(\vec{q}) \chi_0) \left[(i\omega_n)^2 - \Omega^2 \right] - U(\vec{q}) \chi_0 \Omega^2 \right)^{-1}}{(1 - U(\vec{q}) \chi_0) \left((i\omega_n)^2 - \Omega^2 \right)} \\ &= \frac{2\Omega}{(i\omega_n)^2 - \Omega^2} \cdot \frac{(1 - U(\vec{q}) \chi_0) \left((i\omega_n)^2 - \Omega^2 \right)}{(i\omega_n)^2 - \Omega^2 - U(\vec{q}) \chi_0 (i\omega_n)^2 + U(\vec{q}) \chi_0 \Omega^2 - U(\vec{q}) \chi_0 \Omega^2} \\ &= \frac{(1 - U(\vec{q}) \chi_0)}{(1 - U(\vec{q}) \chi_0) \left[(i\omega_n)^2 - \frac{\Omega^2}{1 - U(\vec{q}) \chi_0} \right]} \cdot \frac{2\Omega}{(i\omega_n)^2 - \omega_q^2} \quad \text{onde} \end{aligned}$$

$$\omega_q^2 = \frac{\Omega^2}{\epsilon^{RPA}(\vec{q})} = \frac{(Ze^2) n}{M \epsilon^{RPA}(\vec{q}) \epsilon} \quad \text{que é a frequência de plasmas renormalizada pela função dieletétrica de RPA.}$$

Para $q \rightarrow 0$, $\left\{ \begin{array}{l} \epsilon^{RPA}(\vec{q}) = 1 - \frac{4\pi e^2}{q^2} \chi_0(\vec{q}, \omega_q) \rightarrow 1 - \frac{4e^2 m K_F}{\pi q^2} \propto \frac{1}{q^2} \\ \rightarrow \omega_q \propto q \rightarrow \text{raio acústico} \end{array} \right.$

Por outro lado:

$$g_q^{RPA} = \text{Diagrama de } \text{massa} + \text{Diagrama com } RPA = g_q + U(q) \chi^{RPA} g_q,$$

$$= (1 + U(q) \chi^{RPA}(q, i\omega_n)) g_q = \frac{g_q}{\epsilon^{RPA}(q, i\omega_n)} \quad (\text{também renormalizado por } \epsilon^{RPA})$$

de modo que:

$$\frac{1}{V} |g_q^{RPA}|^2 D^{RPA}(q, i\omega_n) = \frac{1}{V} |g_q|^2 \cdot \frac{1}{(\epsilon^{RPA})^2} \cdot \frac{2\Omega}{(i\omega_n)^2 - \frac{\Omega^2}{\epsilon^{RPA}}} = \frac{1}{2} \frac{U(q)}{\epsilon^{RPA}} \cdot \frac{2(\Omega/\epsilon^{RPA})}{(i\omega_n)^2 - (\Omega/\epsilon^{RPA})^2}$$

$$= V^{RPA}(q) \cdot \frac{\omega_q^2}{(i\omega_n)^2 - \omega_q^2} \quad //$$

e assim, como

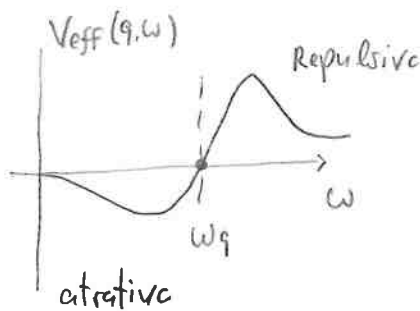
$$-V_{eff}^{RPA}(q, i\omega_n) = -V^{RPA}(q) - \frac{1}{V} |g_q^{RPA}|^2 D^{RPA}(q, i\omega_n)$$

$$\text{Diagrama de } \text{massa} = \text{Diagrama de } \text{massa} + \text{Diagrama com } RPA$$

$$\Rightarrow V_{eff}^{RPA}(q, i\omega_n) = V^{RPA}(q) \left(1 + \frac{\omega_q^2}{(i\omega_n)^2 - \omega_q^2} \right) = V^{RPA}(q, i\omega_n) \frac{(i\omega_n)^2}{(i\omega_n)^2 - \omega_q^2}$$

Fazendo as contínuas analíticas $i\omega_n \rightarrow \omega + i\eta$:

$$V_{eff}^{RPA}(q, \omega) = V^{RPA}(q, \omega) \frac{\omega^2}{\omega^2 - \omega_q^2}$$



que é atractiva p/ $\omega < \omega_q$ onde

$\omega_q \sim \omega_0$ para q pequeno.